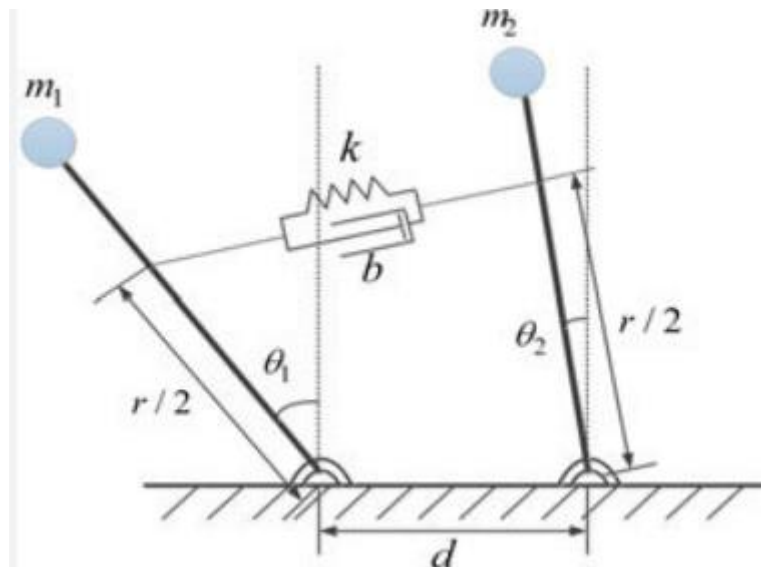


# ΕΥΦΥΗ ΚΑΙ ΠΡΟΣΑΡΜΟΣΤΙΚΑ ΣΥΣΤΗΜΑΤΑ ΑΥΤΟΜΑΤΟΥ ΕΛΕΓΧΟΥ

Εργασία 2024-2025

**Ανάλυση και προσομοίωση συστήματος δύο  
ανεστραμμένων εκκρεμών**



**Ονοματεπώνυμο:** Αλέξανδρος Κριθαρούλας

**AEM:** 10545

**Email:** alexkrit@ece.auth.gr

# ΕΙΣΑΓΩΓΗ

Η Εργασία χωρίζεται σε δύο μέρη.

- **ΜΕΡΟΣ Α**

Στο πρώτο μέρος πρέπει να αναλύσουμε θεωρητικά το σύστημα βάσει των διαφορικών εξισώσεων που το περιγράφουν και να σχεδιάσουμε ελεγκτή τέτοιοι ώστε τα δύο εκκρεμή να ακολουθούν συγκεκριμένες τροχιές ( $\theta_{d1}, \theta_{d2}$ ). Παράλληλα, ο ελεγκτής που θα σχεδιάσουμε πρέπει να εξασφαλίζει ότι όλα τα σήματα του κλειστού βρόχου θα είναι φραγμένα.

- **ΜΕΡΟΣ Β**

Θα πρέπει να προσομοιωθεί το σύστημα που προκύπτει με την χρήση του ελεγκτή που σχεδιάσαμε στο Μέρος Α και να παρουσιαστούν κάποια διαγράμματα.

# ΜΕΡΟΣ Α

## ΘΕΩΡΗΤΙΚΗ ΑΝΑΛΥΣΗ

Αρχικά θα δουλέψουμε για το εκκρεμες 1.

Μπορούμε να το κάνουμε αυτό γιατί τα  $\theta_2$   $\dot{\theta}_2$  είναι μετρήσιμα .

Επίσης την τριβή  $T_1$  θα την θεωρήσουμε διαταραχή .

Η διαφορική εξίσωση της τριβής όπως μας παρουσιάζεται στην εκφώνηση έχει είσοδο αναφοράς την ταχύτητα. Ο άξονας του ηλεκτροκινητήρα , στον οποίο εμφανίζεται η τριβή περιστρέφεται. Από τους νόμους της φυσικής είναι γνωστό ότι η δύναμη της τριβής τείνει να αντιστέκεται στην κίνηση των σωμάτων. Έχει λοιπόν ένα ανώτατο όριο (έστω  $T_{\sigma T_1}$  ). Όσο η δύναμη διέγερσης του άξονα του κινητήρα είναι μικρότερη από αυτό το όριο, η τριβή έχει ίδιο μέτρο με την δύναμη διέγερσης. Όταν όμως η δύναμη διέγερσης ξεπεράσει αυτό το όριο η τριβή αποκτά την μέγιστη τιμή της και ο άξονας περιστρέφεται. Μπορούμε λοιπόν να πούμε ότι  $T_1 \leq T_{\sigma T_1}$ . Επίσης , από τις εξισώσεις φαίνεται ότι εφόσον η τριβή είναι άνω φραγμένη , είναι και κάτω φραγμένη. Θέτω διαταραχή  $\omega_1 = -T_1$  . Εφόσον η  $T_1$  έχει κάτω φράγμα , η  $\omega_1$  έχει άνω φράγμα  $\omega_0$  .

Ορίζουμε τις εξής δύο μεταβλητές κατάστασης:

$$\begin{cases} y_1 = \theta_1 \\ y_2 = \dot{\theta}_1 \end{cases}$$

$$\text{Επίσης: } \ddot{\theta}_1 = J_1^{-1}(f(y) + \omega_1 + u_1)$$

$$\text{Αν } f(y) = a_1 f_1(y_1) + a_2 f_2(y_1) + a_3 f_3(y_1, y_2)$$

$$\text{Όπου } a_1 = m \cdot g \cdot r, a_2 = -0.5 \cdot r \cdot k, a_3 = -0.5 \cdot r \cdot b$$

$$\text{Και } f_1(y_1) = \sin(y_1), f_2(y_1) = (x-l)\cos(y_1 - \theta), f_3(y_1, y_2) = \dot{x}\cos(y_1 - \theta).$$

Όπου τα  $x$  και  $\theta$  είναι συναρτήσεις του  $y_1$  και το  $\dot{x}$  του  $y_1$  και του  $y_2$ .

Άρα μπορώ να γράψω :

$$\begin{cases} y_1 = y_2 \\ \dot{y}_2 = J_1^{-1}(f(y) + \omega_1 + u_1) \end{cases}$$

Άρα  $\dot{y} = Ay + B\Lambda(f(y) - T_1 + u_1)$

Όπου  $A = \begin{bmatrix} 0 & 1 \\ 0 & 0 \end{bmatrix}$   $B = \begin{bmatrix} 0 \\ 1 \end{bmatrix}$   $\Lambda = \frac{1}{J_1}$

Επίσης μπορώ να γράψω

$$f(y) = \theta^T \phi(y), \theta = \begin{bmatrix} \alpha_1 \\ \alpha_2 \\ \alpha_3 \end{bmatrix} \phi(y) = \begin{bmatrix} f_1(y_1) \\ f_2(y_1) \\ f_3(y_1, y_2) \end{bmatrix}$$

$$(A, B\Lambda) = \begin{bmatrix} 0 & 1 & 0 \\ 0 & 0 & J_1^{-1} \end{bmatrix} \text{ άρα ελέγξιμο.}$$

## Μοντέλο αναφοράς

Το εκκρεμές 1 πρέπει να ακολουθεί την τροχιά

$$\theta_{1d} = \pi * \sin(2\pi t)/6$$

Ορίζω  $\dot{y}_m = A_m y_m + B_m r$

Όπου  $A_m = \begin{bmatrix} 0 & 1 \\ K_1 & K_2 \end{bmatrix}$   $B_m = \begin{bmatrix} 0 \\ K_3 \end{bmatrix}$  και  $r$  είσοδος αναφοράς

Πρέπει ο  $A_m$  να έχει αρνητικές ιδιοτιμές και το μοντέλο αναφοράς να είναι ευσταθές και για  $r=0$ . Για αυτό θα επιλέξουμε  $K_1 = -4$ ,  $K_2 = -2$  και  $K_3 = 1$ .

$$\ddot{\theta}_{d1} = K_1 \theta_{d1} + K_2 \dot{\theta}_{d1} + K_3 r$$

Αν υποθέσουμε ότι  $r = A_1 \sin(2t) + A_2 \cos(2t)$

Και με δεδομένο ότι :

$$\dot{\theta}_{d1} = \pi^2 * \frac{\cos(2\pi t)}{3}$$

$$\ddot{\theta}_{d1} = -2\pi^3 * \frac{\sin(2\pi t)}{3}$$

Εφαρμόζοντας τα παραπάνω στο Μοντέλο αναφοράς προκύπτει ότι :

$$A_1 = \frac{(1-\pi^2)2\pi}{3} \quad A_2 = \frac{2\pi^2}{3}$$

## Σχεδίαση ελεγκτή

$$\dot{y} = Ay + B\Lambda(f(y) + \omega_1 + u_1) \pm (A_m y + B_m r) \Rightarrow$$

$$\dot{y} = A_m y + B_m r + (A - A_m)y - B_m r + B\Lambda(f(y) + \omega_1 + u_1) \Rightarrow$$

$$\text{Αν ορίσω } (A - A_m) = B\Lambda K^* \text{ και } (B_m) = B\Lambda L^*$$

$$\dot{y} = A_m y + B_m r + B\Lambda(\theta^T \phi(y) + \omega_1 + u_1 + K^* y - L^* r)$$

Επιλέγουμε  $u_1 = -Ky - \hat{\theta}^T \phi(y) + Lr$ , όπου  $K, \hat{\theta}^T, L$  εκτιμήσεις των  $K^*, \theta^T, L^*$  αντίστοιχα.

$$\text{Ορίζω } \tilde{K} = K - K^*, \tilde{\theta}^T = \hat{\theta}^T - \theta^T, \tilde{L} = L - L^*$$

Άρα

$$\dot{y} = A_m y + B_m r + B\Lambda(-\tilde{\theta}^T \phi(y) + \omega_1 - \tilde{K}y + \tilde{L}r)$$

Ορίζω σφάλμα

$$e = y - y_m \Rightarrow$$

$$\dot{e} = A_m e + B\Lambda(-\tilde{\theta}^T \phi(y) + \omega_1 - \tilde{K}y + \tilde{L}r)$$

Ο  $A_m$  είναι ευσταθής οπότε υπάρχει πίνακας  $P, P=P^T > 0$  τέτοιος ώστε :  $A_m^T P + P A_m = -Q, Q=Q^T > 0$

## Ορισμός του πίνακα P

Ορίζω  $Q = \begin{bmatrix} 1 & 0 \\ 0 & 1 \end{bmatrix}$  οπότε η εξίσωση Lyapunov γίνεται:

$$\begin{bmatrix} 0 & -4 \\ 1 & -2 \end{bmatrix} \begin{bmatrix} p_{11} & p_{12} \\ p_{12} & p_{22} \end{bmatrix} + \begin{bmatrix} p_{11} & p_{12} \\ p_{12} & p_{22} \end{bmatrix} \begin{bmatrix} 0 & 1 \\ -4 & -2 \end{bmatrix} = \begin{bmatrix} -1 & 0 \\ 0 & -1 \end{bmatrix}$$

$$p_{11} = \frac{3}{2}, \quad p_{12} = \frac{1}{8}, \quad p_{22} = \frac{5}{16}$$

## Ανάλυση Lyapunov

Παίρνω Υποψήφια συνάρτηση Lyapunov

$$V = \frac{1}{2} e^T P e + \frac{\tilde{K} \Lambda \tilde{K}^T}{2\gamma_1} + \frac{\tilde{\Theta}^T \Lambda \tilde{\Theta}}{2\gamma_2} + \frac{\Lambda \tilde{L}}{2\gamma_3}$$

Παραγωγίζοντάς την ως προς τον χρόνο προκύπτει:

$$\begin{aligned} \dot{V} = & \frac{1}{2} e^T P A_m e + \frac{1}{2} e^T A_m^T P e \\ & + e^T P B \Lambda (-\tilde{\Theta}^T \phi(y) + \omega_1 - \tilde{K} y + \tilde{L} r) + \frac{\tilde{K} \Lambda \dot{K}^T}{\gamma_1} \\ & + \frac{\tilde{\Theta}^T \Lambda \dot{\tilde{\Theta}}}{\gamma_2} + \frac{\Lambda \tilde{L} \dot{L}}{\gamma_3} \end{aligned}$$

Ορίζω λοιπόν τις εξής τρεις διαφορικές εξισώσεις από τις οποίες προκύπτουν οι εκτιμήσεις που χρησιμοποιώ στο  $u_1$

$$\dot{K}^T = \gamma_1 e^T P B y$$

$$\dot{\tilde{\Theta}} = \gamma_2 \phi(y) e^T P B$$

$$\dot{L} = -\gamma_3 e^T P B y r$$

Οπότε η  $\dot{V}$  γίνεται:

$$\dot{V} = -\frac{1}{2}e^T Q e + e^T P B \Lambda \omega_1 \Rightarrow$$

$$\dot{V} \leq -\frac{1}{2}e^T Q e + |e^T P B| |\Lambda \omega_1| \Rightarrow$$

$$\dot{V} \leq -\frac{1}{2}e^T Q e + |e^T P B| \Lambda \omega_0 \Rightarrow$$

$$\text{Άρα } \dot{V} \leq 0 \text{ όταν } |e^T P B| > \frac{\Lambda \omega_0}{0.5}$$

Άρα στην περιοχή για την οποία ισχύει η παραπάνω ανισότητα  $e \in L_\infty$ .

Για να διασφαλίσουμε ότι και τα άλλα μεγέθη της Lyapunov είναι φραγμένα πρέπει να εφαρμόσουμε σ-τροποποίηση .

Οπότε οι διαφορικές εξισώσεις απο τις οποίες θα προκύπτουν οι εκτιμήσεις  $K, L, \hat{\theta}^T$ , θα τροποποιηθούν ως εξής:

- $\dot{K}^T = \gamma_1 e^T P B y - \gamma_1 \sigma K^T$
- $\dot{\hat{\theta}} = \gamma_2 \varphi(y) e^T P B - \gamma_2 \sigma \hat{\theta}$
- $\dot{L} = -\gamma_3 e^T P B y r - \gamma_3 \sigma L$

Έτσι όλα τα σήματα της συνάρτησης Lyapunov είναι φραγμένα

$$e, \tilde{K}, \tilde{\theta}, \tilde{L} \in L_\infty$$

$$y, K, \hat{\theta}, L \in L_\infty$$

$$r, \varphi(y) \in L_\infty \text{ εξορισμού}$$

$$u_1 \in L_\infty$$

$$\omega_1 \in L_\infty$$

$$\text{Άρα } \dot{e} \in L_\infty$$

Να σημειωθεί ότι για το εκκρεμές 2 γίνεται η ίδια ακριβώς ανάλυση με την διαφορά ότι τα πρόσημα των συντελεστών  $\alpha_2$  και  $\alpha_3$  θα είναι + αντί για - .

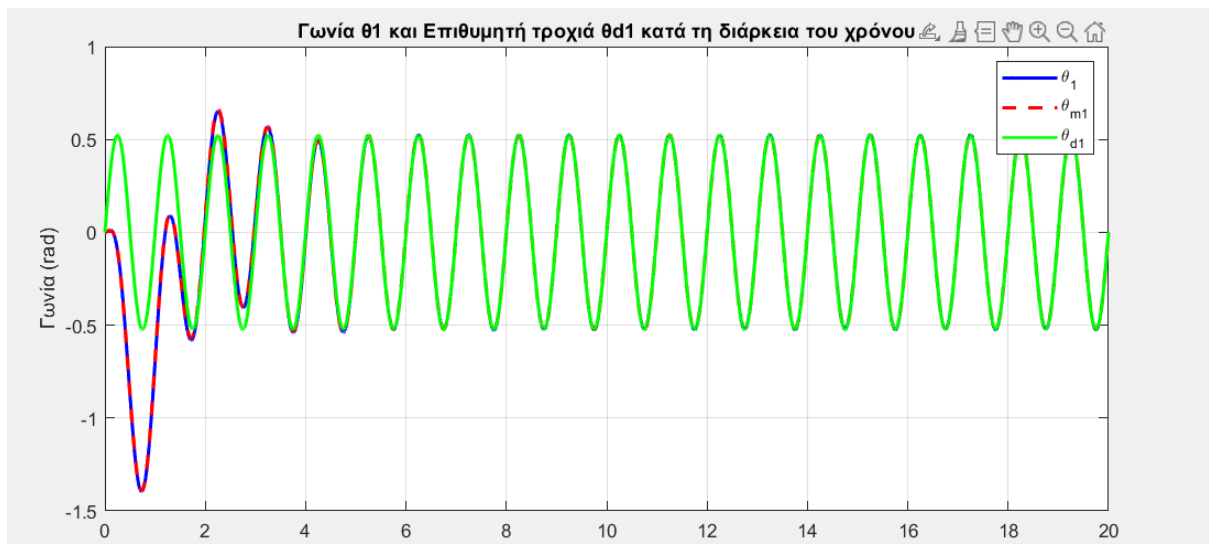




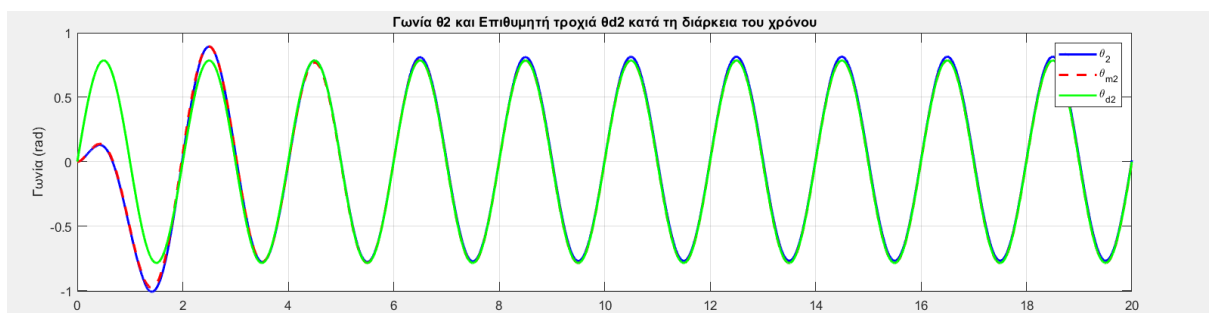
# ΜΕΡΟΣ Β

## Διαγράμματα προσομοίωσης

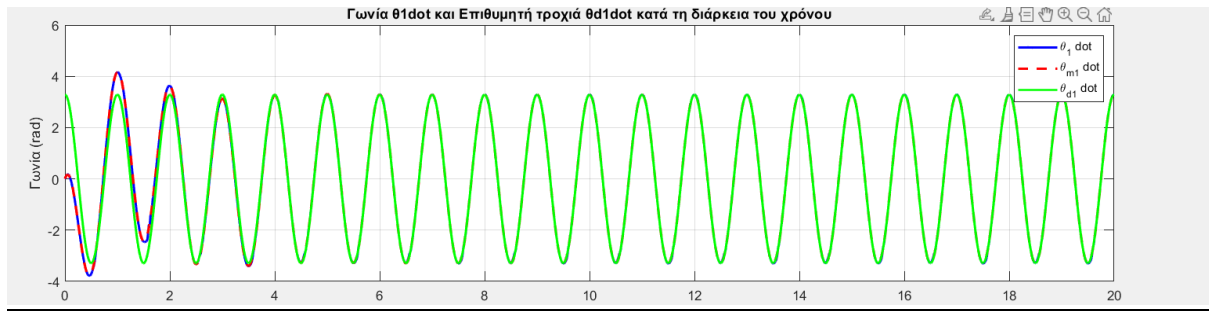
- Διάγραμμα γωνίας  $\theta_1$ :
  1. Την κατάσταση  $\theta_1$  του συστήματος(μπλε)
  2. Την κατάσταση  $\theta_{m1}$  του μοντέλου αναφοράς(κοκκίνη)
  3. Την επιθυμητή τροχιά  $\theta_{d1}$  (πράσινη)



- Διάγραμμα γωνίας  $\theta_2$ :
  4. Την κατάσταση  $\theta_2$  του συστήματος(μπλε)
  5. Την κατάσταση  $\theta_{m2}$  του μοντέλου αναφοράς(κοκκίνη)
  6. Την επιθυμητή τροχιά  $\theta_{d2}$  (πράσινη)



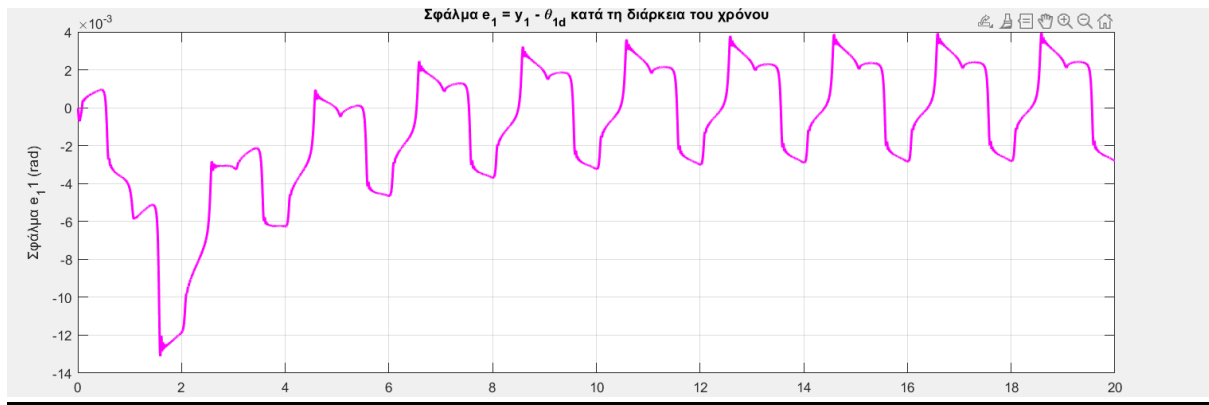
- Διάγραμμα ταχύτητας  $\dot{\theta}_1$ :
7. Την κατάσταση  $\dot{\theta}_1$  του συστήματος(μπλε)
  8. Την κατάσταση  $\dot{\theta}_{m1}$  του μοντέλου αναφοράς(κόκκινη)
  9. Την επιθυμητή ταχύτητα  $\dot{\theta}_{d1}$  (πράσινη)



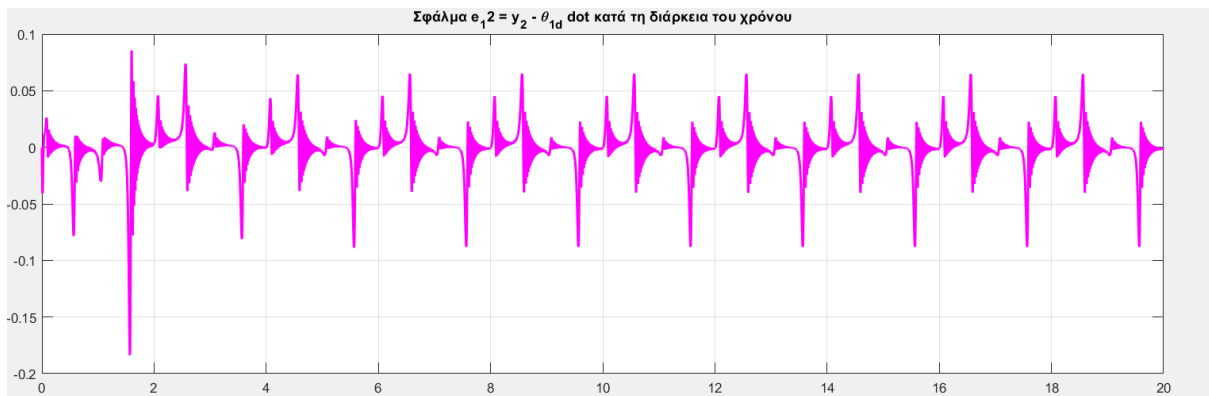
- Διάγραμμα ταχύτητας  $\dot{\theta}_2$ :
10. Την κατάσταση  $\dot{\theta}_2$  του συστήματος(μπλε)
  11. Την κατάσταση  $\dot{\theta}_{m2}$  του μοντέλου αναφοράς(κόκκινη)
  12. Την επιθυμητή ταχύτητα  $\dot{\theta}_{d2}$  (πράσινη)



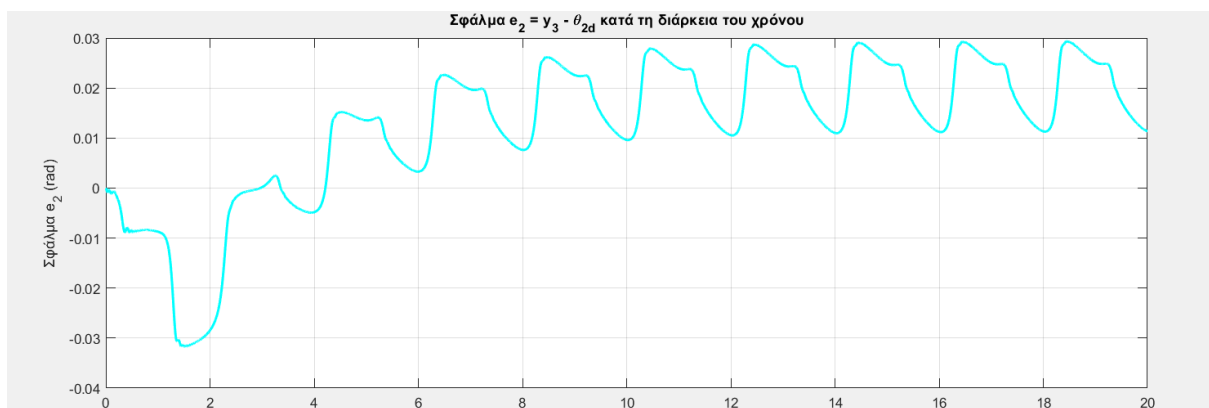
- Διάγραμμα σφάλματος  $e_{11}$  (γωνίας  $\theta_1$ ):



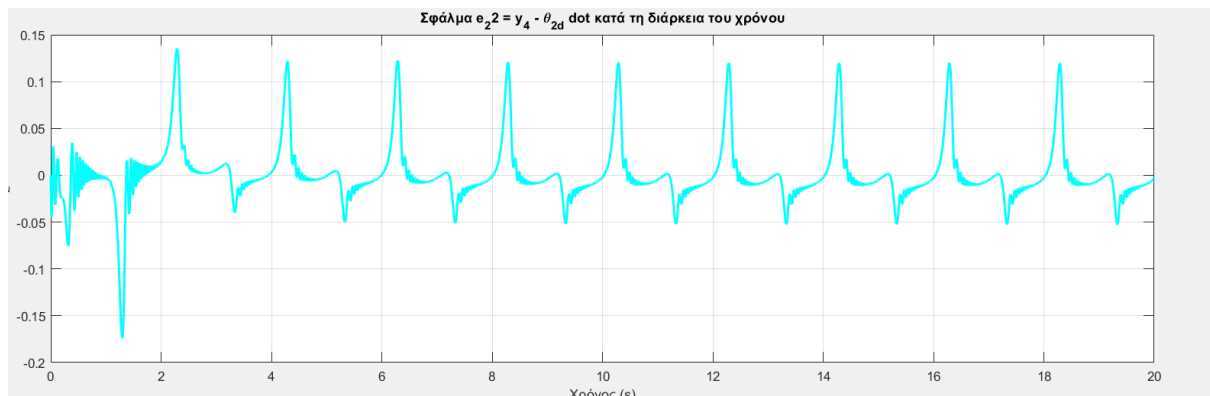
- Διάγραμμα σφάλματος  $e_{12}$  (ταχύτητας  $\dot{\theta}_1$ ):



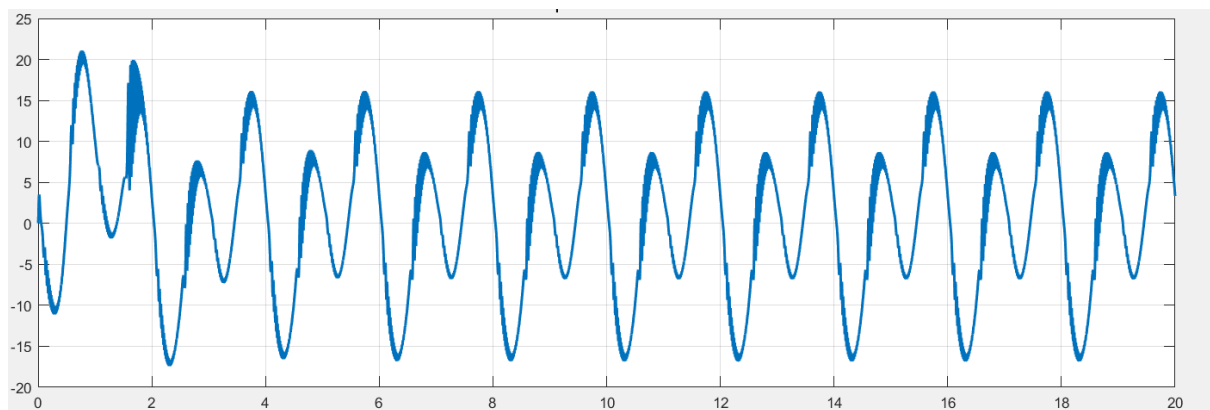
- Διάγραμμα σφάλματος  $e_{21}$  (γωνίας  $\theta_2$ ):



- Διάγραμμα σφάλματος  $e_{22}$  (ταχύτητας  $\dot{\theta}_2$ ):



- Διάγραμμα εισόδου  $u_1$ :



- Διάγραμμα εισόδου  $u_2$ :

